

# مدل آنالیز واریانس فازی

محمد سید حسینی  
دانشیار  
دانشکده مهندسی، دانشگاه تربیت مدرس  
دانشکده مهندسی صنایع، دانشگاه علم و صنعت ایران

عزیز ا... معماریان  
دانشیار  
دانشکده مهندسی، دانشگاه تربیت مدرس  
کامران شهانقی  
استادیار  
دانشکده مهندسی صنایع، دانشگاه علم و صنعت ایران

## چکیده

در این مقاله یک مدل آنالیز واریانس فازی بر اساس تعاملی که بین متغیرهای توصیفی وجود دارد طبق روش Tanaka معرفی شده است. با روش بکار برده شده در مدل Tanaka یک مدل (Linear Programming) جهت محاسبه مقادیر و اثرات عوامل مختلف فرموله شده است. با روش ارائه شده علاوه بر تعیین مقادیر و اثرات مختلف، تعامل بین اثرات نیز قابل محاسبه می باشد.

## كلمات کلیدی

تجزیه و تحلیل رگرسیون فازی - برنامه ریزی خطی فازی - تجزیه و تحلیل آنالیز واریانس فازی

## Fuzzy Variance Analysis Model

M. Seyed Hosseini  
Associate Professor  
Iran University of Science and Technology,  
Industrial Engineering Department

A. Memariani  
Associate Professor  
University of Tarbiat Modares,  
Industrial Engineering Department

K. Shahanaghi  
Assistant Professor  
Industrial Engineering Department,  
Iran University of Science and Technology

### Abstract

This paper discusses a fuzzy variance analysis model with interaction between explanatory variables using Tanaka's model. Based on Tanaka's model, a linear programing model has been formulated for measuring the value of response factors. This model measures both values of the response factors, as well as their interactions.

### Keywords

Fuzzy Regression Analysis, Fuzzy Linear Program, Fuzzy Variance Analysis

## ۱- مقدمه

آنالیز واریانس در اغلب علوم کاربرد وسیعی داشته است. تجزیه و تحلیل واریانس، مطالعه راجع به وابستگی عوامل مختلف را روی یک متغیر انجام می‌دهد. در این بررسی، گاهی عوامل با یکدیگر تعامل (Interaction) دارند و اثر عوامل بعلاوه تعامل آنها روی هم باعث تغییرات مهم و قابل توجهی در ارزش متغیر وابسته می‌گردند. نکته قابل توجه در بکارگیری آنالیز واریانس به صورت کلاسیک این است که باید رابطه بین متغیرها به طور دقیق (Crisp) مشخص باشد هنگامی که دانش و نظرات انسان (خبره) به دلایل مختلف در سیستم‌های مورد نظر سهیم باشد، ما به مدل آنالیز واریانس فازی نیاز خواهیم داشت.

عموماً در مدل آنالیز واریانس فازی داده‌های ورودی و داده‌های خروجی فازی هستند و ارتباط بین داده‌های ورودی و خروجی توسط تابع فازی بیان می‌شود و توزیع داده‌ها و صورت امکان (Possibilistic) می‌باشد در این مدل‌ها نیازی به خواص آماری وجود ندارد. [1]

مدل Tanaka و دیگران اولین بار در سال ۱۹۸۲ به صورت FLP (Fuzzy Linear Programming) در سال ۱۹۸۷ مدلی به صورت Tanaka (Possibilistic Linear Programming) PLP (PLP) جهت تجزیه و H. Tanaka ۱۹۹۱ تحلیل داده‌ها بیان کرده است [2]. در سال ۱۹۹۱ H. Ishibuchi یک مدل PLP با تابع عضویت مربعی پارامترهای فازی بحث کردند [3]. Peters در سال ۱۹۹۴ یک مدل FLP با تابع عضویت مربعی پارامترهای فازی بحث کردند [3]. Peters در سال ۱۹۹۴ یک مدل FLP با فوایل FLP با تابع عضویت مربعی پارامترهای فازی را بیان می‌کند [8]. در سال ۱۹۹۶ Tanaka و دیگران در سال ۱۹۹۶ یک مدل نمایی فازی جهت تجزیه و تحلیل داده‌ها را بحث می‌کنند [6]. در این مقاله یک مدل توسعه‌ای بر اساس مدل Tanaka و دیگران نشان داده شده است [1].

در این نوشتار پس از تشریح مدل Tanaka اقدام به افزودن متغیرهای تعاملی در مدل کرده و نشان می‌دهیم که با استفاده از آنالیز و تحلیل واریانس می‌توان اثرات این عوامل را اندازه‌گیری نمود. منابع بدست آمده نشان می‌دهد که تحلیل واریانس بعنوان یک راه کار جدید می‌تواند در محیط‌های فازی برای حل مسایل تصمیم‌گیری بعنوان یک ابزار مورد استفاده قرار گیرد.

## ۲- مدل

### ۲-۱- ساختار مدل

مدل اصلی یک تابع فازی خطی در رابطه (۱) نشان داده شده است:

$$\tilde{Y}_i = \tilde{A}_1 x_{1i} + \dots + \tilde{A}_n x_{ni} = \tilde{A} x_i \quad (1)$$

به طوریکه  $\tilde{X}$  بردار متغیرهای مستقل (دقیق) و  $\tilde{A}$  بردار پارامترهای مدل (فازی) است. فرض کنیم که  $\tilde{A}$  به شکل اعداد فازی مثلثی متقارن به صورت رابطه (۲) فرض شود.

$$\mu_{\tilde{A}_j}(\alpha_i) = \begin{cases} 1 - \frac{|x_j - \alpha_j|}{C_j}; & \alpha_j - C_j \leq \alpha_j \leq \alpha_j + C_j \\ 0 & \text{در غیر اینصورت} \end{cases} \quad (2)$$

به طوریکه  $(\alpha_i)$  تابع عضویت،  $\alpha$  مرکز و  $C$  پهنه‌ای عدد فازی است. با بکارگیری اصل بسط خواهیم داشت:

$$\mu_{\tilde{Y}_i}(y) = \begin{cases} 1 - \frac{|y - X_i^t|}{C^t |X_i|}; & X \neq 0 \\ 1 & X \neq 0, y \neq 0 \\ 0 & X = 0, y = 0 \end{cases} \quad (3)$$

به طوریکه  $(y)$  تابع عضویت  $\tilde{Y}$  می‌باشد. Tanaka با حداقل کردن جمع عرض فازی ( $\sum_j C_j$ ) به شکل زیر (رابطه ۴) :

$$\text{Min} \sum_i C_j \quad (4)$$

و بکارگیری مجموعه‌های  $h$ ، به طوریکه تابع عضویت باید از سطح  $h$  بزرگتر باشد یعنی:

$$\tilde{Y}_i^h = \{y / \mu_{\tilde{Y}_i}(y) \geq h\} \quad (5)$$

$$\tilde{Y}_i^{*h} = \{y / \mu_{\tilde{Y}_i}(y) \geq h\} \quad (6)$$

مدل خود را به صورت رابطه (۷) فرموله نمود:

$$\begin{aligned} \text{Min} \sum_j C_j \\ \text{s.t.} \\ \alpha^t X_i + (1-H) C^t |X_i| \geq y_i + (1-H) e_i \end{aligned} \quad (7)$$

جدول (۲) تلوانس حداکثر ولتاژ خروجی.

۸۰	۶۵	۵۰	درجه حرارت نوع مواد
۲۶,۸۵	۲۳,۶۰	۴۳,۳۵	۱
۱۹,۲۶	۱۲,۶۶	۲۳,۱۹	۲
۱۹,۲۸	۲۲,۵۴	۲۵,۹۷	۳

با توجه به نتایج آنالیز واریانس، بین مواد و درجه حرارت یک نوع تعامل وجود دارد که قطعاً ولتاژ خروجی به این تعامل بستگی دارد [۹].

### ۳- مدل آنالیز واریانس فازی

شکل کلی مساله در آنالیز واریانس به صورت رابطه (۹) نمایش داده شده است:

$$Y_{ijk...v} = \mu + (x_1)_i + (x_2)_j + (x_3)_k + \dots + (x_{n-1})_s + (x_n)_t + (x_1 x_2)_{ij} + \dots + (x_1 x_{n-1})_{is} + (x_1 x_n)_{it} + (x_2 x_3)_{jk} + \dots + (x_2 x_{n-1})_{js} + (x_2 x_n)_{jt} + \dots + (x_{n-1} x_n)_{st} + (x_1 x_2 x_3)_{ijk} + \dots + Y_{ijk...v} = \mu + (x_1)_i + (x_2)_j + (x_3)_k + \dots + (x_1 x_2 x_3 \dots x_{n-1} x_n)_{ij \dots t} + \varepsilon_{ijk...v} \quad (9)$$

بر اساس نظرسه Tanak [1] در حالت فازی خطای مشاهدات قابل صرف نظر شدن است. در این صورت شکل مساله به صورت رابطه (۱۰) تعریف شده است:

$$\tilde{Y}_{ijk...t} = \tilde{\mu} + (\tilde{x}_1)_i + (\tilde{x}_2)_j + (\tilde{x}_3)_k + \dots + (\tilde{x}_{n-1})_s + (\tilde{x}_n)_t + (\tilde{x}_1 \tilde{x}_2)_{ij} + \dots + (\tilde{x}_1 \tilde{x}_{n-1})_{is} + (\tilde{x}_1 \tilde{x}_n)_{it} + (\tilde{x}_2 \tilde{x}_3)_{jk} + \dots + (\tilde{x}_2 \tilde{x}_{n-1})_{js} + (\tilde{x}_2 \tilde{x}_n)_{jt} + \dots + (\tilde{x}_{n-1} \tilde{x}_n)_{st} + (\tilde{x}_1 \tilde{x}_2 \tilde{x}_3)_{ijk} + \dots + (\tilde{x}_1 \tilde{x}_2 \tilde{x}_3 \dots \tilde{x}_{n-1} \tilde{x}_n)_{ij \dots t} \quad (10)$$

جهت سادگی فرموله کردن مدل، تابع را در حالت دو متغیره، همانگونه که در رابطه (۱۱) آمده است در نظر می گیریم:

$$\tilde{Y}_{ij} = \tilde{\mu} + (\tilde{x}_1)_i + (\tilde{x}_2)_j + (\tilde{x}_1 \tilde{x}_2)_{ij} \quad (11)$$

$$-\alpha^t X_i + (1-H) C^t |X_i| \geq -y_i + (1-H) e_i; i=1, \dots, p$$

$$C_j \geq 0; j = 1, \dots, x$$

با توجه به مدل بدست آمده به راحتی ضرایب رگرسیون خطی فازی همراه با عرض فازی ضرایب قابل محاسبه می باشد. با توجه به نظر خبره مقدار H معلوم می گردد که نوعی سطح برش می باشد. فرض اصلی مدل فوق استقلال متغیرهای توصیفی است. چنانچه ملاحظه می شود در مدل فوق هیچگونه تعامل به بین متغیرها قابل محاسبه نیست. در ادامه سعی شده تعامل بین متغیرها توضیح داده شود و مدلی برای آن تهیه گردد.

۲-۲- تجزیه و تحلیل آنالیز واریانس فازی در صورتیکه بین متغیرهای توصیفی وابستگی (تعامل)، وجود داشته باشد. در صورتیکه بین متغیرها تعامل وجود داشته باشد یکی از روش هایی که تأثیر این تعامل را بررسی می کند تجزیه و تحلیل واریانس می باشد که ساده ترین شکل آن در رابطه (۸) آورده شده است:

$$y_{ijk} = \mu + \tau_i + \beta_j + (\tau\beta)_{ij} + \varepsilon_{ijk} \quad (8)$$

مثال زیر مساله تعامل را نشان می دهد: حداکثر ولتاژ خروجی نوع بخصوصی از یک نوع باطری، به نوع مواد بکار گرفته شده در صفحات بکار برد شده در باطری و درجه حرارت مکانی که باطری در آنجا نسب شده است، بستگی دارد. با توجه به سه نوع مواد مختلف و سه نوع درجه حرارت، آزمایش هایی انجام شده است که نتیجه این آزمایشات به صورت متوسط نتایج ولتاژ خروجی در جدول شماره (۱) آمده است.

جدول (۱) حداکثر ولتاژ خروجی.

۸۰	۶۵	۵۰	درجه حرارت نوع مواد
۵۷,۵	۵۷,۲۵	۱۲۴,۷۵	۱
۴۹,۵	۱۱۹,۷۵	۱۵۰,۷۵	۲
۸۵,۵	۱۴۵,۷۵	۱۴۴	۳

لازم به ذکر است که منتجه پراکندگی نتایج آزمایشات انجام شده، در جدول شماره (۲) نشان داده شده است:

طبق اصل بسط تابع عضویت  $\tilde{Y}^*$  می‌توان رابطه (۱۷) را در این مورد توسعه داد:

$$\mu_{\tilde{Y}_i^*}(y) = \begin{cases} 1 & \left| Y_{ij}^m - \mu^m - (x_1)_i^m - (x_2)_j^m - (x_1 x_2)_{ij}^m \right| = A \\ & \left| \mu^c + (x_1)_i^c + (x_2)_j^c - (x_1 x_2)_{ij}^c \right| = B \\ 0 & ; B = 0, A \neq 0 \\ 1 & ; B = 0, A = 0 \end{cases}$$

(۱۷)

بطوریکه اگر صورت کسر از مخرج آن بزرگتر باشد  $\tilde{Y}^*$  صفر می‌شود.

اگر فرض کنیم درجه برازنش توسط  $\bar{h}$  اندازه‌گیری شود با استفاده از روابط (۱۸) و (۱۹)، مقدار  $h$  مقداری است که توسط خبره برای نشان دادن درجه برازنده‌گی استفاده می‌شود:

$$\tilde{Y}_i^h = (y/\mu_{\tilde{Y}_i^*}(y) \geq h) \quad (۱۸)$$

$$\tilde{Y}_i^{*h} = (y/\mu_{\tilde{Y}_i^*}(y) \leq h) \quad (۱۹)$$

با استناد به شکل (۲۰) تعریف می‌شود:

به طوریکه متغیرهای تعریف شده در تابع شماره (۱۱) را مثلثی و متقارن فرض کنیم، در این صورت تعاریف پیشنهادی در روابط شماره (۱۲) آمده است:

$$\tilde{\mu} = (\mu^m, \mu^c)$$

$$(\tilde{x}_1)_i = ((x_1)_i^m, (x_1)_i^c)$$

$$(\tilde{x}_2)_i = ((x_2)_i^m, (x_2)_i^c)$$

$$(\tilde{x}_1 x_2)_{ij} = ((x_1 x_2)_{ij}^m, (x_1 x_2)_{ij}^c) \quad (۱۲)$$

به سادگی متغیر  $\tilde{Y}_{ij}$  برای مقادیر «محاسبه شده» و «عملی» بصورت روابط (۱۳) و (۱۴) تعریف می‌گردد:

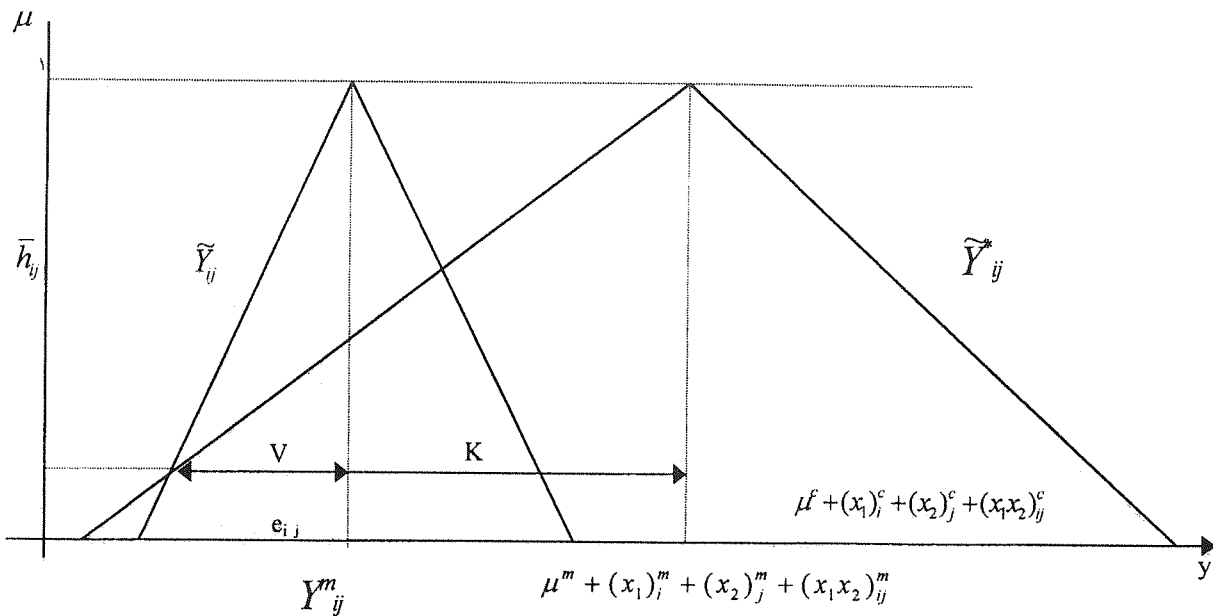
$$\tilde{Y}_{ij} = (Y_{ij}^m, e_{ij}) \quad (۱۳)$$

$$\tilde{Y}_{ij}^* = (\tilde{Y}_{ij}^{*m}, \tilde{Y}_{ij}^{*c}) \quad (۱۴)$$

بطوریکه می‌توان تعاریف زیر را در مورد متغیرهای رابطه (۱۴) و (۱۵) در روابط (۱۵) و (۱۶) نشان داد:

$$\tilde{Y}_i^{*m} = \mu^m + (x_1)_i^m + (x_2)_i^m + (x_1 x_2)_{ij}^m \quad (۱۵)$$

$$Y_i^{*c} = \mu^c + (x_1)_i^c + (x_2)_i^c + (x_1 x_2)_{ij}^c \quad (۱۶)$$



شکل (۳) شرایط عدم نقض زیر مجموعه بودن  $\tilde{Y}_{ij}^*$  از  $\tilde{Y}_{ij}$

$$J = \sum_{i=1}^a \sum_{j=1}^b (\mu^c + (x_1)_i^c + (x_2)_j^c + (x_1 x_2)_{ij}^c) \quad (24)$$

که بنا به مدل Tanaka باید مقدار  $J$  تا حد ممکن حداقل باشد.

بنابراین مدل تعیین پارامترها در رابطه (25) بدست می‌آید:

Min J

$$\text{S.t.} \quad (25)$$

$$\bar{h}_{ij} \geq H$$

به طوریکه  $H$  توسط تصمیم گیرنده ارائه می‌گردد.  
با بسط  $\bar{h}_{ij} \geq H$  خواهیم داشت:

$$\text{Min} = \sum_{i=1}^a \sum_{j=1}^b (\mu^c + (x_1)_i^c + (x_2)_j^c + (x_1 x_2)_{ij}^c)$$

S.t.

$$1 - \frac{|Y_{ij}^m - \mu^m - (x_1)_i^m - (x_2)_j^m - (x_1 x_2)_{ij}^m|}{\mu^c + (x_1)_i^c + (x_2)_j^c + (x_1 x_2)_{ij}^c - e_{ij}} \geq H; \forall i,j$$

$$\mu^c \geq 0, (x_1)_i^c \geq 0, (x_2)_j^c \geq 0, (x_1 x_2)_{ij}^c \geq 0$$

$$\mu_{ij}^m \geq 0, (x_1)_i^m \geq 0, (x_2)_j^m \geq 0, (x_1 x_2)_{ij}^m \geq 0; \forall i,j \quad (26)$$

در نهایت مدل فوق بصورت روابط (27) قابل فرموله شده است:

$$\text{Min} = \sum_{i=1}^a \sum_{j=1}^b (\mu^c + (x_1)_i^c + (x_2)_j^c + (x_1 x_2)_{ij}^c)$$

S.t.

$$(1-H)(\mu^c + (x_1)_i^c + (x_2)_j^c + (x_1 x_2)_{ij}^c) + (\mu^m + (x_1)_i^m$$

$$+ (x_2)_j^m + (x_1 x_2)_{ij}^m) \geq Y_{ij}^m + (1 - H) e_{ij}$$

$$(1-H)(\mu^c + (x_1)_i^c + (x_2)_j^c + (x_1 x_2)_{ij}^c) - (\mu^m + (x_1)_i^m$$

$$+ (x_2)_j^m + (x_1 x_2)_{ij}^m) \geq Y_{ij}^m + (1 - H) e_{ij}$$

$$\mu^c \geq 0, (x_1)_i^c \geq 0, (x_2)_j^c \geq 0, (x_1 x_2)_{ij}^c \geq 0$$

$$\mu_{\tilde{y}_i}(y) = 1 - \frac{|Y_{ij}^m - y|}{e_{ij}} \quad (20)$$

برای اینکه خروجی های  $\tilde{Y}_{ij}^*$  به داده های اصلی  $y$  نزدیکتر باشد از سطح برش  $h$  استفاده می کنیم.

با توجه به تعاریف فوق:  $\bar{h}_{ij}$  حداقل مقدار  $h$  است بطوریکه  $\tilde{Y}_{ij}^h \leq \tilde{Y}_{ij}^*$  به عبارت دیگر آنقدر  $\bar{h}_{ij}$  را افزایش می دهیم (تشریط زیر مجموعه بودن  $\tilde{Y}_{ij}^*$  از  $\tilde{Y}_{ij}^h$  نقض نشود).

شکل (2) گویای کامل این حالت می باشد:

$$\frac{1}{1 - \bar{h}_{ij}} = \frac{e_{ij}}{V} \Rightarrow V = e_{ij} (1 - \bar{h}_{ij})$$

$$\frac{1 - \bar{h}_{ij}}{1} = \frac{k}{\mu^c + (x_1)_i^c + (x_2)_j^c + (x_1 x_2)_{ij}^c}$$

$$\Rightarrow k = (1 - \bar{h}_{ij})(\mu^c + (x_1)_i^c + (x_2)_j^c + (x_1 x_2)_{ij}^c) \quad (21)$$

$$K = V + |Y_{ij}^m - \mu^m - (x_1)_i^m - (x_2)_j^m - (x_1 x_2)_{ij}^m| =$$

$$e_{ij}(1 - \bar{h}_{ij}) + |Y_{ij}^m - \mu^m - (x_1)_i^m - (x_2)_j^m - (x_1 x_2)_{ij}^m| \quad (22)$$

از تساوی (21) و (22) می توان انتظار داشت که:

$$(1 - \bar{h}_{ij})(\mu^c + (x_1)_i^c + (x_2)_j^c + (x_1 x_2)_{ij}^c) = e_{ij}(1 - \bar{h}_{ij})$$

$$+ |Y_{ij}^m - \mu^m - (x_1)_i^m - (x_2)_j^m - (x_1 x_2)_{ij}^m|$$

در نتیجه:

$$(1 - \bar{h}_{ij})(\mu^c + (x_1)_i^c + (x_2)_j^c + (x_1 x_2)_{ij}^c - e_{ij}) =$$

$$|Y_{ij}^m - \mu^m - (x_1)_i^m - (x_2)_j^m - (x_1 x_2)_{ij}^m|$$

در نهایت می توان روابط (23) را در این جهت بسط داد:

$$\bar{h}_{ij} = 1 - \frac{|Y_{ij}^m - \mu^m - (x_1)_i^m - (x_2)_j^m - (x_1 x_2)_{ij}^m|}{\mu^c + (x_1)_i^c + (x_2)_j^c + (x_1 x_2)_{ij}^c - e_{ij}} \quad (23)$$

در صورتیکه اپهام مدل را به  $J$  نمایش دهیم بطوریکه مجموع تمام پهنه های پارامترها فازی باشد خواهیم داشت:

$\tilde{M}_i = (M_i^m, M_i^c)$   
 $\tilde{T}_j = (T_j^m, T_j^c)$   
 $\tilde{(TM)}_{ij} = ((TM)_{ij}^m, (TM)_{ij}^c)$   
 $\tilde{Y}_{ij}^m$ : مقدار متوسط (میانی) ولتاژ خروجی اثر  $i$  این سطح مواد و  $j$  این سطح حرارت  
 $e_{ij}^m$ : مقدار پراکندگی (ابهام) ولتاژ خروجی اثر  $i$  این سطح مواد و  $j$  این سطح حرارت  
 $H$ : برش حداقل که توسط تصمیم گیر داده می شود.  
 داده های مسأله در جدول شماره (۴) آمده است:  
 در صورتیکه  $0 / ۰.۵ = H$  در نظر گرفته شود پاسخ مدل به کمک نرم افزار GAMS در جدول شماره (۵) آمده است:

### ۵. نتیجه گیری

چنانچه مشخص است مدلی که Tanaka و دیگران بسط داده اند، هیچگونه توانایی نشان دادن تعامل بین متغیرهای توصیفی را ندارد. در صورتیکه در دنیای واقعی بحث تعامل بین متغیرهای توصیفی از اهمیت زیادی برخوردار می باشد. در این مقاله یک مدل «آنالیز واریانس فازی» جهت نشان دادن تعامل بین متغیرهای توصیفی بیان شده است که در آن به راحتی نظر خبره با توجه به واقعیات در ارتباط با متغیرهای توصیفی که ممکن است بین آنها تعامل در اندیشه خبره وجود داشته باشد، در نظر می گیرد و به سادگی تعامل مورد نظر خبره را مورد ارزیابی قرار می دهد.

هم چنین، با توجه به خاصیت مدل های LP، همیشه حداقل پاسخ به تعداد محدودیت های مدل بستگی دارد بعبارت دیگر، در صورتیکه متغیرها بیش از محدودیت ها باشند همیشه حداقل تعدادی از متغیرها به اجبهار صفر خواهند شد. چنانچه در مثال نشان داده شده است همیشه تعدادی از متغیرها با توجه به تعداد محدودیت های مدل صفر شده اند که این پاسخ ناخواسته می باشد.

از نکاتی که باید در توسعه مدل در آینده در نظر داشت، تعریف محدودیت هایی است که با اضافه کردن آن به مدل

جدول (۴) داده های ورودی مدل به صورت  $(y_{ij}, e_{ij})$  جهت مواد و حرارت های مورد آزمایش.

اثر مواد = i	اثر حرارت = j		
۱	۱	۸۰	۶۵
۲	۲	(۵۷,۵۲۶,۸۵)	(۵۷,۲۵۰۲۳,۶۰)
۳	۳	(۴۹,۵۱۹,۲۶)	(۱۱۹,۷۵۰۱۲,۶۶)
		(۸۰,۵۱۹,۲۸)	(۱۴۴۰۲۲,۵۴)
		(۱۲۴,۷۵۰۴۳,۳۵)	(۱۰۰,۷۵۰۲۳,۱۹)
		(۱۴۴۰۲۵,۹۷)	

$$\mu_{ij}^m \geq 0, (x_1)_i^m \geq 0, (x_2)_j^m \geq 0, (x_1 x_2)_{ij}^m \geq 0; \forall i,j \quad (27)$$

با توجه به مدل فرموله شده (۲۷)، می توانیم رابطه کلی شده شماره (۷) را به عنوان مدل کلی بیان نمود. توسط این مدل براحتی تأثیر متغیرها همراه با عرض فازی آنها همراه با تعامل بین متغیرها قابل محاسبه می باشد.

### ۶. کاربرد مدل

به عنوان مثال، با توجه به مسأله تعریف شده در بخش ۲-۲، مسأله به شکل کلی زیر فرموله می گردد (۲۵)

$$\text{Min} = \sum_{i=1}^3 \sum_{j=1}^3 (\mu^c + (M)_i^c + (T)_j^c + (TM)_{ij}^c)$$

S.t.

$$(1-H) (\mu^c + (M)_i^c + (T)_j^c + (TM)_{ij}^c + (\mu^m) + (M)_i^m)$$

$$+ (T)_j^m + (TM)_{ij}^m \geq (1 - H) e_{ij} + Y_{ij}^m$$

$$(1-H) (\mu^c + (M)_i^c + (T)_j^c + (TM)_{ij}^c - (\mu^m + (M)_i^m)$$

$$+ (T)_j^m + (TM)_{ij}^m) \geq (1 - H) e_{ij} - Y_{ij}^m$$

$$\mu^c, (M)_i^c, (T)_j^c, (TM)_{ij}^m \geq 0$$

$$\mu^m, (M)_i^m, (T)_j^m \geq 0, (TM)_{ij}^m = \text{Free} ; i=1,2,3, j=1,2,3$$

متغیرها و پارامترهای بکار گرفته شده عبارتند از (اندیس های  $c$  و  $m$  نشان‌همند عدد مثلثی فازی متقاضی با شرط  $m = \text{میانه}$  و  $c$  فاصله متقاضی چپ و راست است):

$$\tilde{\mu} = (\mu^c, \mu^m)$$

جدول (۵) پاسخ متغیرهای مدل.

متغیر	پاسخ
$\mu^c$	۲۶,۸۰
$(TM)_{11}^C$	۱۶,۰
$(TM)_{11}^M$	۱۳۴,۷۰
$(TM)_{12}^M$	۵۴,۱۶۲
$(TM)_{13}^M$	۵۷,۰
$(TM)_{21}^M$	۱۰۱,۳۲۳
$(TM)_{22}^M$	۱۰۶,۲۶۹
$(TM)_{23}^M$	۴۲,۲۸۹
$(TM)_{31}^M$	۱۴۳,۱۶۴
$(TM)_{32}^M$	۱۴۱,۶۰۵
$(TM)_{33}^M$	۷۸,۳۰۸
باقی متغیرها	

با شناخت هر چه بهتر این مدل توسط تصمیم گیرندگان راهکارهای استفاده از آن در صنعت و بخش خدمات نیز افزون تر خواهد گردید.

متغیرهای مجھول مدل قابل محاسبه باشند. بنابر پیشنهادی که در مرجع [9] آورده شده است می توان این محدودیت ها را به صورت جمع اثرات برابر با صفر در نظر گرفت. بهر حال،

## مراجع

- [1] H. Tanaka, S. Uejirma and K. Asai, Fuzzy Linear Regression Models, IEEE Tran. Systems, Man and Cybernet. 12 (1982), PP. 903-907.
- [2] H. Tanaka, Fuzzy Data Analysis by Possibilistic Linear Models. Fuzzy Sets and Systems 24 (1987), PP. 363-375.
- [3] H. Tanaka and H. Ishibuchi, Identification of Possibilistic Linear Systems by Quadratic Membership Functions of Fuzzy Parameters, Fuzzy Sets and Systems 41 (1991), PP. 145-160.
- [4] David T. Reddex and William H. Woodall, Properties of Certain Fuzzy Linear Regression Methods, Fuzzy Sets and Systems 64 (1994), PP. 361-375.
- [5] H. Tanaka and J. Watada, Possibilistic Linear Systems and Their Application to the Linear Regression Model, Fuzzy Sets and Systems 27 (1988), PP. 275-289.
- [6] H. Tanaka, H. Ishibuchi and S. Yoshikawa, Exponential Possibility Regression Analysis, Fuzzy Sets and Systems 69 (1996), PP. 305-318.
- [7] David T. Reddex and William H. Woodall, Futher Examination of Fuzzy Linear Regression, Fuzzy Sets and Systems 79 (1996), PP. 2003-211.
- [8] George Peters, Fuzzy Linear Regression with Fuzzy Intervals, Fuzzy Sets and Systems 63 (1994), PP. 45-55.
- [9] D. C. Montgomery, Design and Analysis of Experiment, John Wiley & Sons, 1997.